

тора 3 и микроконтроллера 5 появляется возможность получать данные в интервале температур с нескольких термопар 1-N одновременно, сохранять их и передавать для дальнейшей обработки. На пути движения сигнала от термопар 1-N, соединенных с дифференциальными усилителями ДУ1, ДУ2, ..., ДУ N к микроконтроллеру 5 расположены компараторы. Компаратор 3 отсекает неподходящие в интервал температур значения, затем сигнал с помощью АЦП 4 преобразуется в цифровую форму и уже нужные данные попадают для обработки на микроконтроллер 5. Причем, наличие компаратора 3 между микроконтроллером 5 и термопарой 1 дает возможность одновременно принимать сигнал с нескольких термопар 1-N сразу. Микроконтроллер 5 имеет возможность через обратную связь управлять работой компаратора 3, настраивать рабочие интервалы температур, воспринимаемые компаратором 3. Также микроконтроллер 5 выводит получаемые данные на индикатор 7, выводит данные через порт RS232 8 на компьютер. Управление работой микроконтроллера 5 и устройства в целом осуществляют через клавиатуру 6.

Результаты исследования представленные в настоящей работе выполнены при поддержке гранты Президента РФ МК-6661.2013.8.

Литература

1. Мартюшев Н.В., Петренко Ю.Н., Егоров Ю.П. Производство поршневых колец компрессоров высокого давления // Литейное производство. – 2008. – № 8. – С. 24-26.
2. Мартюшев Н.В., Семенков И.В. Структура и свойства бронзовых отливок при различных скоростях охлаждения // Современные проблемы науки и образования. – 2012. – № 6. – С. 1-1.
3. Мартюшев Н.В. Влияние условий кристаллизации на структуру и свойства бронз, содержащих свинец // Металлургия машиностроения. – 2010. – № 4. – С. 32-36.
4. Мартюшев Н.В. Параметры дендритной структуры медных сплавов // Известия высших учебных заведений. Физика. – 2011. – № 11-3 (54). – С. 229-232.
5. Мартюшев Н.В. Влияние условий кристаллизации на свойства отливок из бронзы брос 10-10 // Литейное производство. – 2011. – № 6. – С. 11-13.
6. Мартюшев Н.В. Программные средства для автоматического металлографического анализа // Современные проблемы науки и образования. – 2012. – № 5. – С. 79-79.

РАЗРАБОТКА АЛГОРИТМОВ ОПРЕДЕЛЕНИЯ ГРАНИЦ ПЛАСТОВ ГЕОЛОГИЧЕСКИХ СРЕД

Гуляева К.В.

Научный руководитель: Степанов Д.Ю.
Томский политехнический университет

634050, Россия, г. Томск, пр-т Ленина, 30
E-mail: ksuksu245@gmail.com

Введение

Вертикальное сейсмическое профилирование (ВСП) – один из методов скважинной сейсморазведки, в основе которого лежит изучение особенностей волнового поля во внутренних точках среды. Общей задачей ВСП, как и любого другого метода изучения геологических сред, является уточнение априорной информации о модели среды, в том числе построение пластовой модели среды. Пространственное распределение скоростей распространения сейсмических волн в реальных средах определяется множеством факторов, главным из которых являются два - слоистость и горное давление. Действие других факторов, как правило, осложняет характер распределения физико-геологических свойств горных пород по горизонтали и вертикали. В результате распределение значений скоростей распространения упругих волн в общем случае представляет собой очень сложную функцию координат пространства. Однако для обеспечения реальной возможности решения прикладных задач в сейсморазведке необходимо прибегать к построению упрощенной сейсмической модели изучаемой среды. Основой та-

кого упрощения является представление о сейсмических свойствах слоя [1]. Целью представленной работы является построение физической модели среды.

Под математическим моделированием в сейсморазведке подразумевают процедуры построения сейсмогеологической модели, математическое описание ее параметров, расчеты волновых полей для заданных схем наблюдений, обработку и интерпретацию результатов расчетов. Интерпретация реальных волновых полей на основе математического моделирования предполагает уточнение априорной модели, проведение новых расчетов волновых полей, сравнение теоретических сейсмограмм с реальными [2].

Математическое описание модели

Как правило, модель описывается граничными условиями и параметрами пластов в отдельных точках среды, а для расчета волновых полей в двумерных и трехмерных средах требуется находить параметры модели в любой точке, что требует решения задачи аппроксимации параметров модели. Далее рассмотрим модель горизонтально-

слоистой среды и будем полагать, что слои являются однородными. Т.е. внутри стоя скорость прохождения волны постоянна. Пусть X является горизонтальной координатой, h – глубиной, $\tau(h_i)$ – границы i -ого и $i + 1$ – слоев, v – скорость в i -ом слое. Наблюдение ВСП проводят в дискретных точках среды, определяемых положением ствола скважины и расстоянием между сейсмоприемниками. Предположим, что скважина вертикальная. При проведении ВСП известно только $t(\tau_h)$ – время пробега от поверхности до глубины h . Для решения вопросов сейсморазведки перед методом ВСП ставится задача: по наблюдаемым $t(\tau_h)$ определить глубины залегания границ h_i .

Если глубины расположения сейсмоприемников h_n с номера n по m находятся в одном слое, то зарегистрированные времена прихода τ_h в эти сейсмоприемники должны лежать на одной прямой. Отклонение τ_h от прямой внутри однородного слоя обусловлено неточностью регистрации данных, аппаратурными помехами, ошибкой при работе системы синхронизации, задержкой срабатывания детонатора, ошибкой глубины установки заряда. искажение сейсмической записи. [3] Если глубины расположения сейсмоприемников h_n с номера n по m находятся в разных слоях, то зарегистрированные времена прихода τ_h в эти сейсмоприемники не должны лежать на одной прямой. Отклонение от прямой может означать наличие границы пластов в интервале (h_k, h_{k+1}) и обуславливаться сменой скорости прохождения этого интервала. Методическая погрешность оценки $t(\tau_h)$ уменьшается с глубиной, т.к. уменьшается вклад поверхностных помех и расстояние между источником и приемником волны возрастает. Пусть $\epsilon_{\text{тест}}(h) = \tau(h) + \tau_0$, где $\tau_0 = \sum_{i=1}^m \frac{d\tau}{dh}$ (если $h = \sum_{i=1}^m d\tau_i$), $\tau(h)$ – погрешность измерения гидографа $\tau(h)$.

Работа заключается в разработке алгоритмов построения пластовой модели среды в околоскважинном пространстве. Задачу построения пластовой модели среды по наблюденному вертикальному гидографу можно представить в виде задачи кусочно-линейной аппроксимации гидографа, в которой ограничения линейных функций будут определять границы пластов, а коэффициенты линейного уравнения – пластовые скорости.

Описание алгоритмов аппроксимации

Суть алгоритма 1 заключается в определении отклонения по времени точек, принадлежащих гидографу, от аппроксимирующих отрезков, последовательном построении прямых, проходящих через начальную точку потенциального пласта и следующих точек, а также нахождения отклонения промежуточных точек от прямой [3].

Приведем описание алгоритма:

1. $m = 0$.

2. Выбирается глубина h_m .
3. Вводится счетчик $m = 2$.
4. Строим прямую, проходящую через точки (h_m, τ_m) и (h_{m+1}, τ_{m+1}) : $\tau^*(h) = k \cdot h + c_0$.
5. Проверяем условие линейной аппроксимации на отрезке $[h_m, h_{m+1}]$, например, если $k = \max_{h \in [h_m, h_{m+1}]} |\tau_h - \tau^*(h)| > \varepsilon_0$, тогда h_{m+1} – граница слоев, иначе увеличиваем m и выполняем п. 3.
6. Увеличиваем m на 1 и переходим к п. 2.

Проведение экспериментов

Для осуществления тестирования алгоритма аппроксимации проведем эксперимент, который позволит проверить работоспособность и помехоустойчивость модели.

Пусть $\tau(h)$ – неоднородный случайный процесс с нормальным законом распределения и параметрами

$$\mu_h = 0, \sigma_h^2(h) = \sigma_0^2 \cdot e^{-B^2 h^2}, \quad (1)$$

где σ_0^2 – дисперсия погрешности при $h=0$, B – коэффициент затухания. В качестве модельных данных построена толстослоистая модель.

Перейдем к этапам выполнения эксперимента:

- осуществление расчета времени пробега волны между сейсмоприемниками;
- моделирование случайного процесса $\tau(h)$;
- выполнение алгоритма аппроксимации с введением погрешности, зависящей от глубины. Для определения границ пластов используем формулу $\hat{h}_k = \epsilon_{\text{тест}}(h_k) + \epsilon_{\text{тест}}(h_{k+1})$.

Результаты эксперимента представлены на рисунке 1.

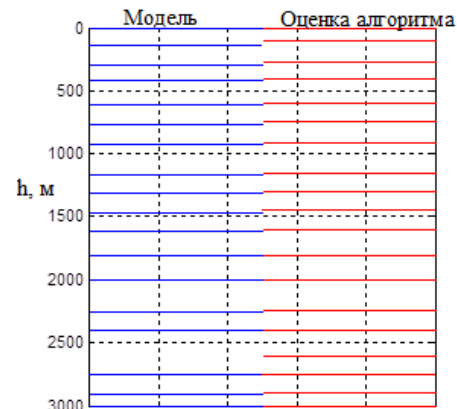


Рис. 1. Расположение границ пластов при поиске аппроксимацией сверху вниз и $\tau(h_k)$, зависящей от h

Алгоритм определил «лишние» границы пластов, где амплитуда шума достаточно высока. Сделаем вывод о том, что при модели с уменьшающимися с глубиной погрешностями алгоритм, в котором $\tau(h_k)$ зависит от h , дает лучший результат независимо от выбора порядка аппроксимации.

Заключение

Эксперимент на модельных данных для подтверждения работоспособности и помехоустойчивости алгоритма показал, что для идеальных моделей границы пластов определяются безошибочно, а при наличии помех возникает погрешность как в определении положения границ пластов, так и их количестве. Полное совпадение границ с модельными выполняется максимум на 33,3%. Определение границ близких к модельным данным выполняется максимум на 79%.

Эксперимент подтвердил работоспособность и помехоустойчивость алгоритмов. В результате вычислительного эксперимента определена рекомендация по выбору величины погрешности 

Литература

- Резяпов Г.И. Сейсморазведка. Конспект лекций «Геофизические методы исследования скважин» – Томск, ТПУ, учебное пособие, 2011. – 228 с.
- Гальперин Е.И. Вертикальное сейсмическое профилирование. Опыт и результаты. - М.: «Наука» 1994. – 480 с.
- Шевченко А.А. Скважинная сейсморазведка, РГУ нефти и газа имени И.М. Губкина. М.: 2002. - 129 с.
- Поданева Д.С. Алгоритм построение пластовой модели среды с согласованием данных наземной сейсморазведки и скважинной сейсморазведки//Технология Microsoft в теории и практике программирования, Томск, 2012. – с. 82-85.

ПРЕДЕЛЬНЫЕ ТОКИ В СФЕРИЧЕСКОМ ДИОДЕ

Колмакова И.А.

Научный руководитель: Григорьев В.П.
Томский политехнический университет
634050, Россия, г. Томск, пр-т Ленина, 30
E-mail: iakolmakova@mail.ru

Введение

В ряде современных электронных приборов используются направленные управляемые потоки (пучки) электронов, создаваемые с помощью магнитных и электрических полей в различных диодах. Под пучком заряженных частиц обычно понимают поток частиц, движущихся в одном направлении примерно параллельно друг другу. Электроны пучка при движении в ускоряющем диоде создают собственное электрическое поле, связанное с пространственным зарядом пучка. Это поле тормозит последующие электроны, влетающие в диодный промежуток. В результате, тот пучок, который может проходить через систему, ограничен. Возникает понятие предельного тока. Под предельным током понимают максимально допустимое в стационарном режиме значение тока пучка, протекающего через диод. Известны различные конфигурации диодов, основные из них: плоские, коаксиальные и сферические

Задачи определения предельных токов решались для плоских и коаксиальных диодов. Проводились исследования как для ультраколлинистических напряжений, слабоколлинистических и нерелятивистских. Что касается сферических диодов, то в настоящее время отсутствуют исследования предельных токов для релятивистских напряжений.

Ниже мы рассмотрим задачу о предельном токе в сферическом диоде для релятивистских напряжениях, когда $U_0/m_0c^2 \gg 1$ и скорость электронов v_b в первом приближении можно считать постоянной порядка скорости света c . Определим зависимость предельного тока в этом

случае от геометрии диода и ускоряющего напряжения U_0 .

Основные уравнения. Предельные токи

1. Пусть система представляет собой вложенные сферы с катодом на внутренней сфере. Определим предельный ток при движение электронов пучка с внутреннего r_0 радиуса системы к внешнему R под действием разности потенциалов U_0 (рис. 1).

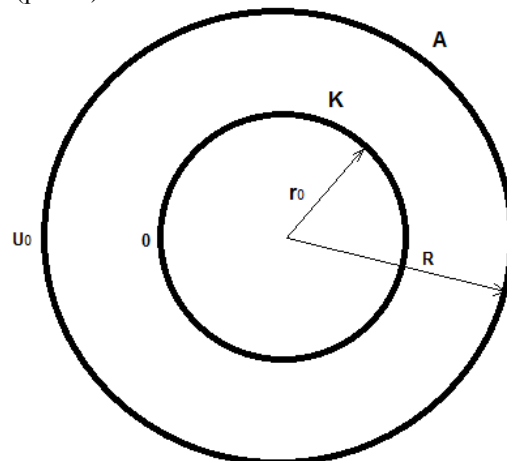


Рис. 1. Сферический диод с внутренним радиусом r_0 и внешним радиусом R

Уравнение Пуассона запишем в виде:

$$\frac{1}{r^2} \frac{\partial}{\partial r} (r^2 \frac{\partial \Phi}{\partial r}) = 4\pi \rho n = \frac{4\pi j}{c} \quad (1)$$

Границные условия при этом запишутся в виде: